

2017年6月24日更新

Exercises in Computer-Aided Problem Solving

# 7. 信号処理

## Signal processing

東北大学 大学院工学研究科

嶋田 慶太



TOHOKU  
UNIVERSITY



# 今日の内容はほとんどフーリエ変換

## フーリエ変換 記法の一例

$$\mathcal{F}[f_g(t)](f) = F_g(f) = \int_{-\infty}^{\infty} f_g(t) \exp(-i 2\pi ft) dt$$

被変換関数

変換後の変数  
(省略可)

関数  $f_g$  と,  
 $\cos(2\pi ft)$  と  $i \sin(2\pi ft)$  との **内積** を取る  
 (実部と虚部は分けて計算してよい)

スクリプト体の  $F$  で  
 Fourier transform を表す.

被変換関数  $f_g$  に含まれる,  
 $\cos(2\pi ft)$  と  $i \sin(2\pi ft)$  の **成分の強度**  
 が得られる

## 離散フーリエ変換

$$\mathbf{v} \cdot \mathbf{u}_i$$

被変換ベクトル

関数の場合の  $\cos$  や  $\sin$  に対応する基底ベクトル (正規直交)



# ベクトルの内積

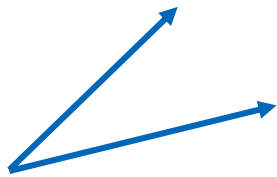
内積とは

▶ 二つのベクトル・関数の**関係性**を表す指標  
さらに「長さ」で除すと、関係性が規格化される。

2次元では...

$$\mathbf{v}_1 = (x_1, y_1)$$

$$\mathbf{v}_1 \cdot \mathbf{v}_2 = x_1x_2 + y_1y_2$$



$$\mathbf{v}_2 = (x_2, y_2)$$

▶ 0 なら互いに独立(直交) すなわち

関係しないといえる



$$\mathbf{v}_1 \cdot \mathbf{v}_2 = 0 \Leftrightarrow \mathbf{v}_1 \perp \mathbf{v}_2$$

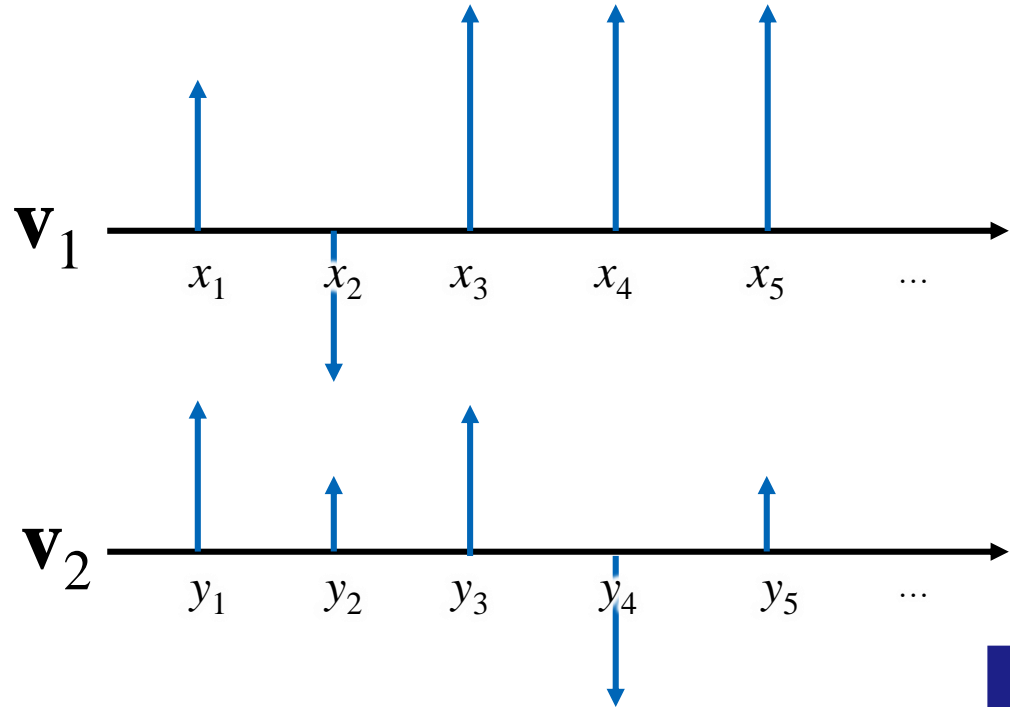
しかし、2次元ベクトルはなまじ見えるため、  
多次元を想像しづらい

多次元ベクトルについては



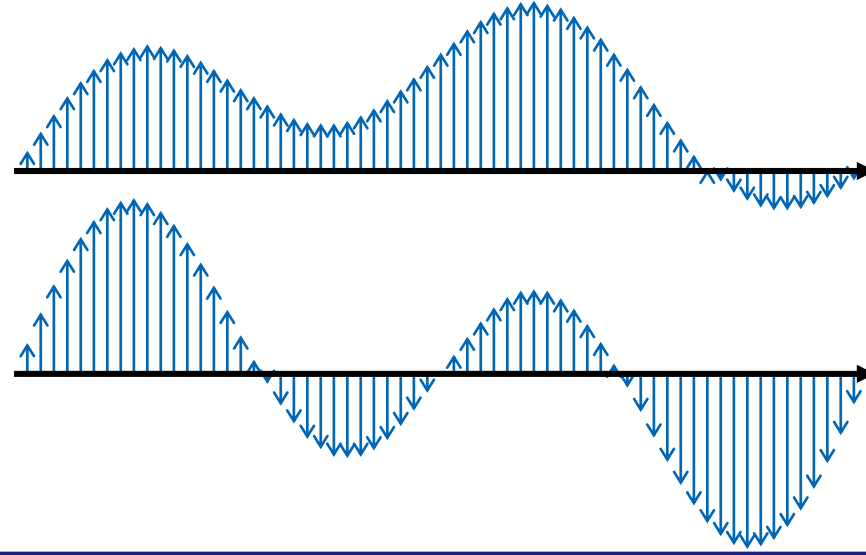
# 高次元ベクトルの表現

## $n (>3)$ 次元以上の表現



$$(\mathbf{v}_1, \mathbf{v}_2) = \sum_{i=1}^n x_i y_i$$

5次元以上？



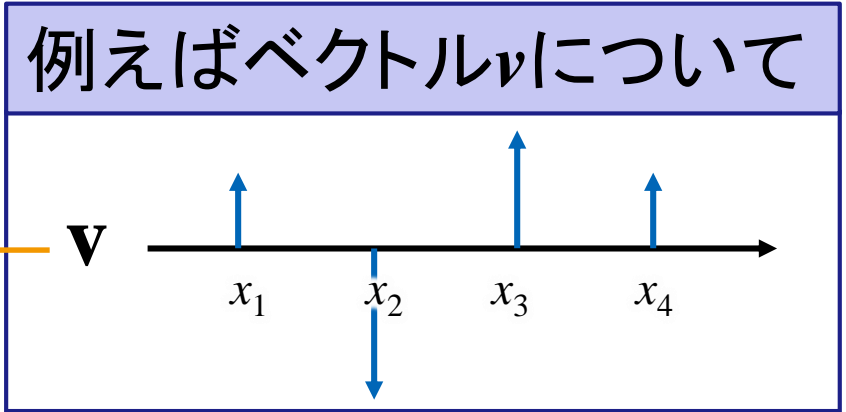
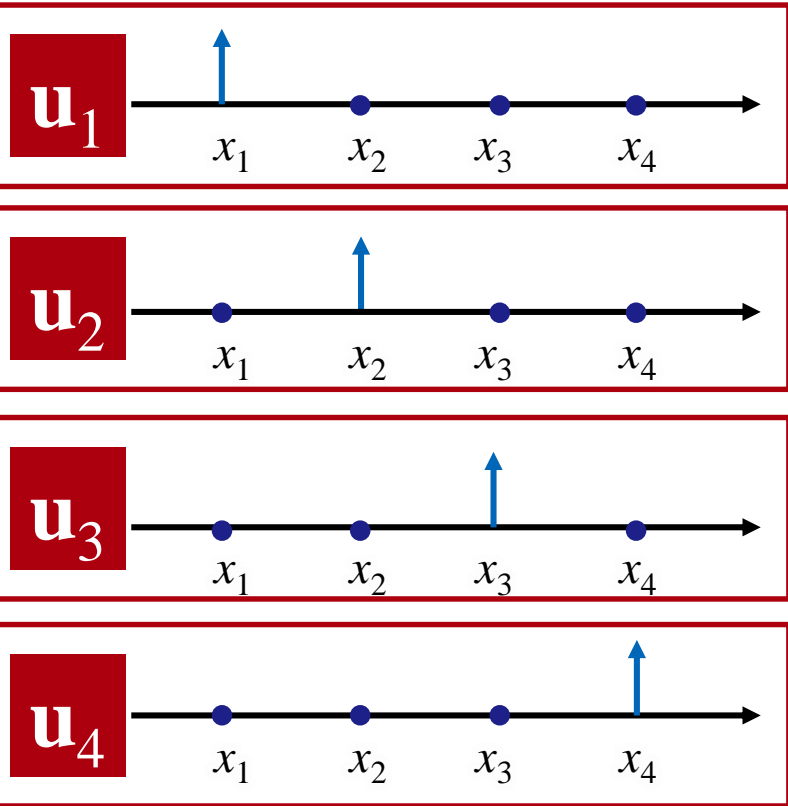
関数の内積  $\int f_1(x) f_2(x) dx$   
 とのイメージ的な結びつきが得やすい

2次元・3次元だと  
 どうしても幾何学的なイメージに縛られがち



# 基底(例えば4次元の場合)

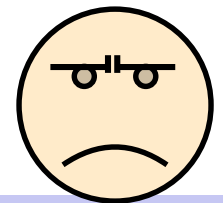
**基底**  $N$ 次元空間を線形結合で表現することのできるベクトルの組



**内積**  $v \cdot u_i$   $v$ が $u_i$ の成分をどれだけ持つか

$$v = \sum_{i=1}^n (v \cdot u_i) u_i$$

正規直交基底なら

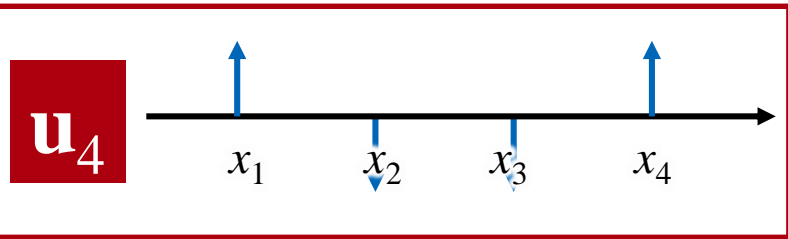
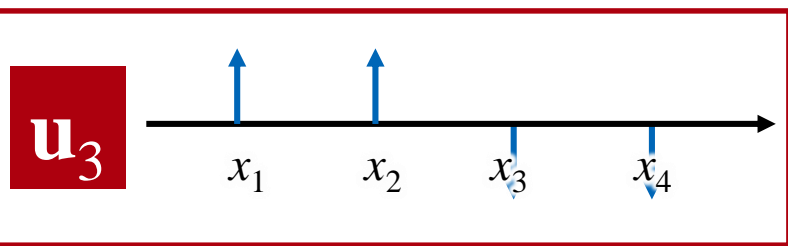
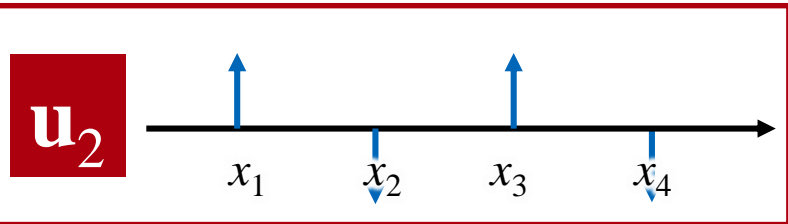
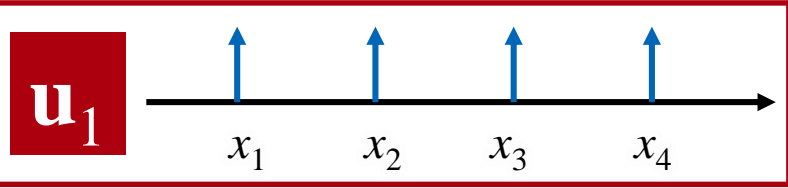


内積で成分に分解 ◀ 内積を取るまでもない？

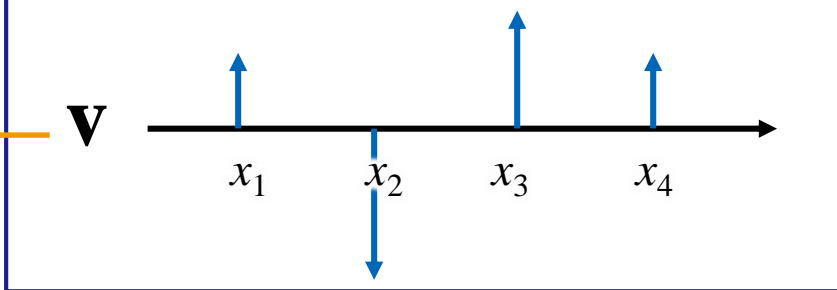


# 基底の取り方

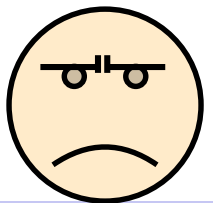
正規直交基底をこんな感じで選べる



例えばベクトル  $v$  について



**内積**  $v \cdot u_i$   $v$ が $u_i$ の成分を  
どれだけ持つか

$$v = \sum_{i=1}^n (v \cdot u_i) u_i$$


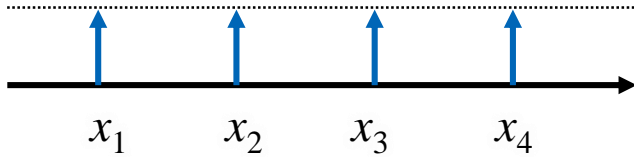
内積で成分に分解 ◀ この $u_i$ になんの意味が？



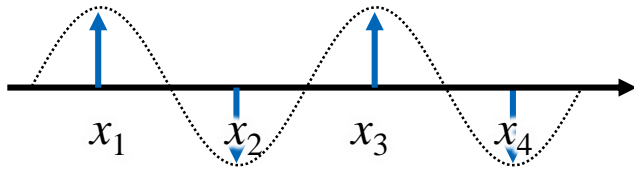
# 先ほどの基底の意味

直交基底をこんな感じで選べる

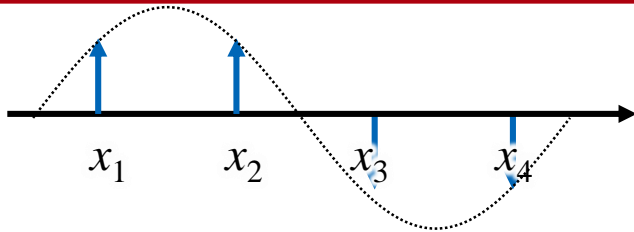
$u_1$



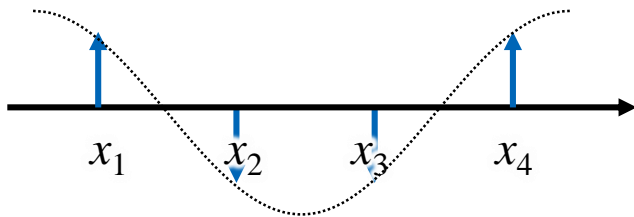
$u_2$



$u_3$



$u_4$



内積

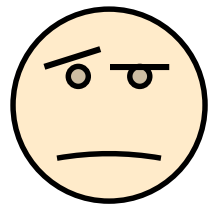
$$\mathbf{v} \cdot \mathbf{u}_i$$

$\mathbf{v}$ が $\mathbf{u}_i$ の成分を  
どれだけ持つか

三角関数に対応付け、  
分解できる

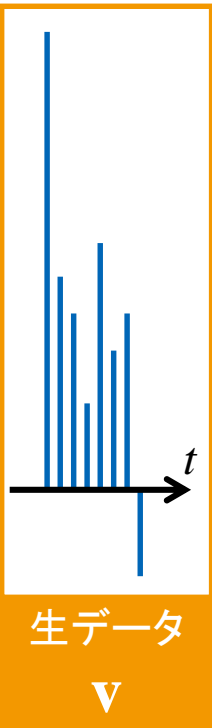
$$\mathbf{v} = \sum_{i=1}^n (\mathbf{v} \cdot \mathbf{u}_i) \mathbf{u}_i$$

離散フーリエ変換





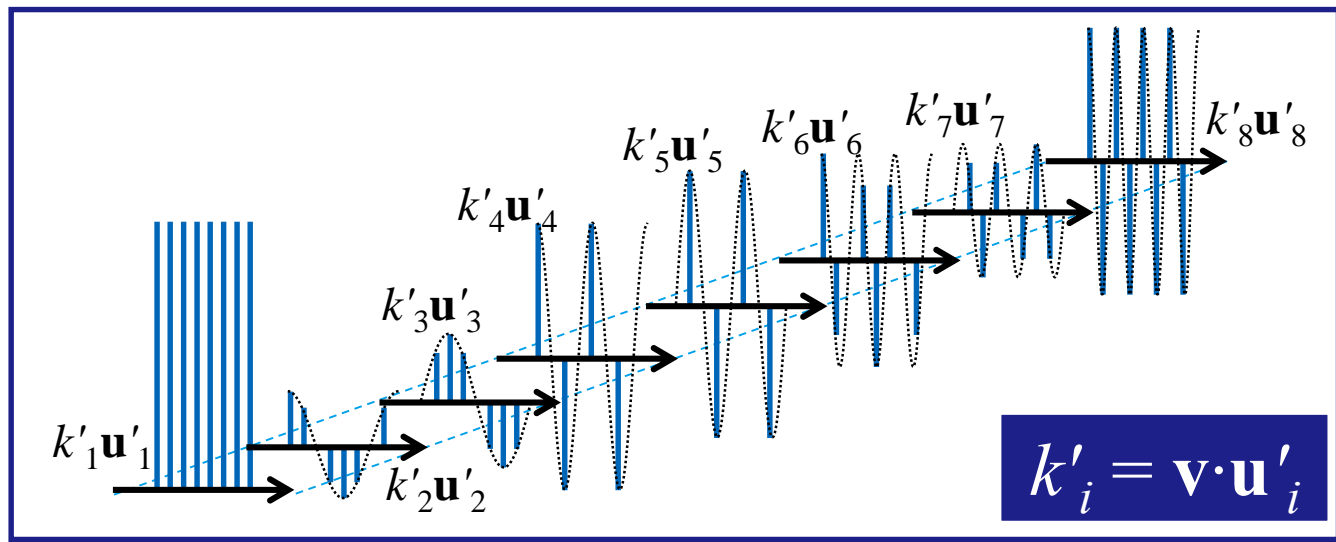
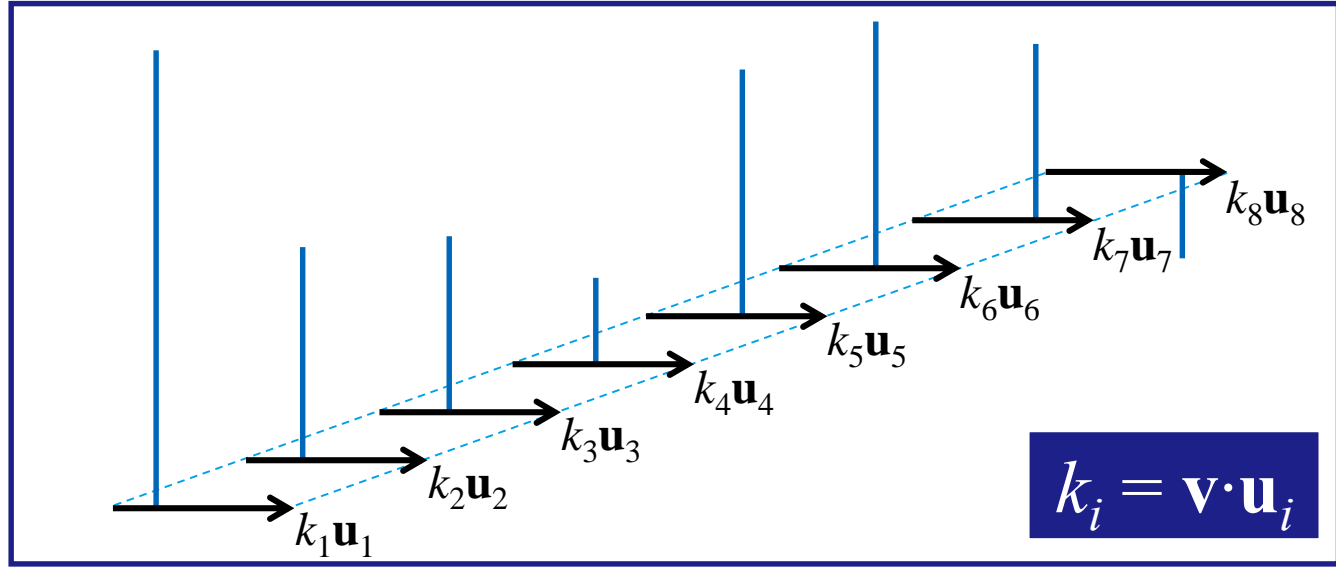
# 分解のイメージ



時間ごとの  
単位ベクトル $\mathbf{u}_i$   
とその強度 $k_i$   
(自明な分解)

**内積**  
により分解

周波数ごとの  
単位ベクトル $\mathbf{u}'_i$   
とその強度 $k'_i$





# 離散フーリエ変換のための基底の選択

## 基底ベクトルの選択

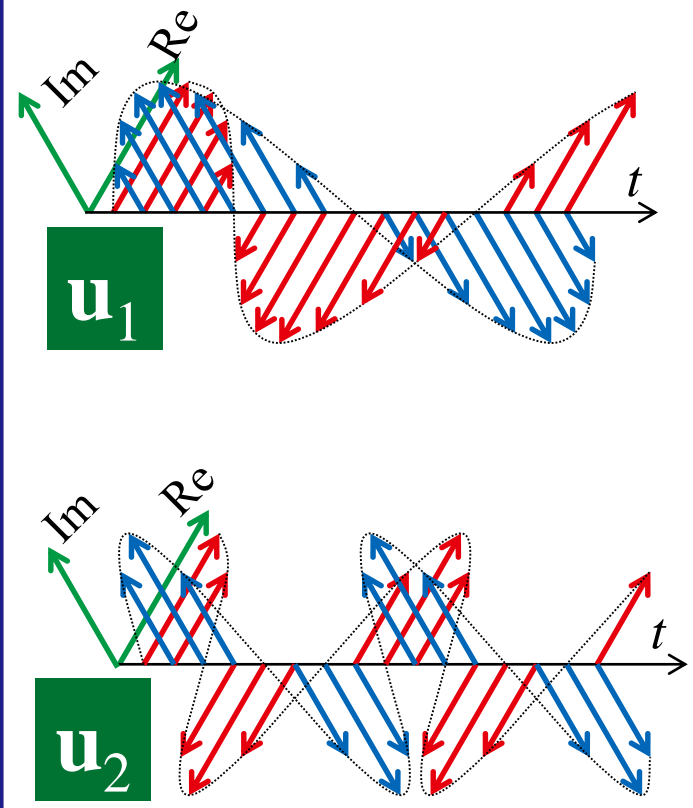
$i$ は虚数単位

$$\mathbf{u}_f = \left\{ \begin{array}{l} \exp\left(-i\frac{2\pi}{N}f \times 0\right) \\ \exp\left(-i\frac{2\pi}{N}f \times 1\right) \\ \vdots \\ \exp\left(-i\frac{2\pi}{N}f(N-1)\right) \end{array} \right\}$$

$f = 0, 1, \dots, N-1$       データ点数

列ベクトルに単位円の点を対応させていく

## $N = 16$ の一部





# 基底の直交性

複素数の内積なので、片方は複素共役であることに注意

$$\mathbf{u}_f \cdot \mathbf{u}_\varphi = \sum_{t=0}^{N-1} \exp\left(-i \frac{2\pi}{N} (f - \varphi)t\right)$$

$$= N\delta_{f\varphi}$$

いずれの基底  $u_f$  も独立

クロネッカーのデルタ

単位円の正 $N$ 角形を考えて和を取る  
 $f$ と $\varphi$ が異なれば、正多角形、星形多角形を取るなので総和は0

$$\mathbf{v} \cdot \mathbf{u}_f$$

対象の  
ベクトル

基底

他の成分が紛れてない、  
周波数  $f$  の成分を保証



# Octaveでの検証

$N = 8;$  ◀次元数 (好きな数字を入れていい, 10000とかはやめたほうがいいが)  
 $t = f = [0:N-1];$  ◀ $t$ と $f$ に0~ $N-1$ の整数を順に入れる  
 $U = \exp(-i * 2 * \pi * t' * f / N);$  ◀ $t$ を列  $f$ を行とし,  $u_f$ を作成  
 $\text{round}(\text{abs}(U' * U))$  ◀ $\text{abs}$ と $\text{round}$ はなくてもよいが, 複素数と小数点で見にくくなるのでカット

```

1 #unit_vectors_DFT
2 N = 8;
3 t = f = [0:N-1];
4 U = exp(i*2*pi*t'*f/N);
5 round(abs(U'*U))
  
```

```

コマンドウィンドウ
>> unit_vectors_DFT

ans =

   8   0   0   0   0   0   0   0
   0   8   0   0   0   0   0   0
   0   0   8   0   0   0   0   0
   0   0   0   8   0   0   0   0
   0   0   0   0   8   0   0   0
   0   0   0   0   0   8   0   0
   0   0   0   0   0   0   8   0
   0   0   0   0   0   0   0   8

>> |
  
```

※  $i$  に既に整数等を代入している場合には `clear` しないと虚数単位にはならない

◀ 直交性が確認できる。

ちなみにUは...

$u =$	$u_0$	$u_1$	$u_2$	$u_3$	$u_4$	$u_5$	$u_6$	$u_7$
	1.00000 + 0.00000i	1.00000 + 0.00000i	1.00000 + 0.00000i	1.00000 + 0.00000i	1.00000 + 0.00000i	1.00000 + 0.00000i	1.00000 + 0.00000i	1.00000 + 0.00000i
	1.00000 + 0.00000i	0.70711 + 0.70711i	0.00000 + 1.00000i	-0.70711 + 0.70711i	-1.00000 + 0.00000i	-0.70711 - 0.70711i	-0.00000 - 1.00000i	0.70711 - 0.70711i
	1.00000 + 0.00000i	0.00000 + 1.00000i	-1.00000 + 0.00000i	-0.00000 - 1.00000i	1.00000 - 0.00000i	0.00000 + 1.00000i	-1.00000 + 0.00000i	-0.00000 - 1.00000i
	1.00000 + 0.00000i	-0.70711 + 0.70711i	-0.00000 - 1.00000i	0.70711 + 0.70711i	-1.00000 + 0.00000i	0.70711 - 0.70711i	0.00000 + 1.00000i	-0.70711 - 0.70711i
	1.00000 + 0.00000i	-1.00000 + 0.00000i	1.00000 - 0.00000i	-1.00000 + 0.00000i	1.00000 - 0.00000i	-1.00000 + 0.00000i	1.00000 - 0.00000i	-1.00000 + 0.00000i
	1.00000 + 0.00000i	-0.70711 - 0.70711i	0.00000 + 1.00000i	0.70711 - 0.70711i	-1.00000 + 0.00000i	0.70711 + 0.70711i	-0.00000 - 1.00000i	-0.70711 + 0.70711i
	1.00000 + 0.00000i	-0.00000 - 1.00000i	-1.00000 + 0.00000i	0.00000 + 1.00000i	1.00000 - 0.00000i	-0.00000 - 1.00000i	-1.00000 + 0.00000i	-0.00000 + 1.00000i
	1.00000 + 0.00000i	0.70711 - 0.70711i	-0.00000 - 1.00000i	-0.70711 - 0.70711i	-1.00000 + 0.00000i	-0.70711 + 0.70711i	-0.00000 + 1.00000i	0.70711 + 0.70711i



# $N$ 次元の離散フーリエ変換

$N$ 個の値を持つデータ列  $\mathbf{v}$

$$\mathbf{v} = \begin{Bmatrix} v_0 \\ v_1 \\ \vdots \\ v_{N-1} \end{Bmatrix} \quad \text{に対して,} \quad \mathbf{u}_f = \begin{Bmatrix} \exp\left(-i\frac{2\pi}{N}f \times 0\right) \\ \exp\left(-i\frac{2\pi}{N}f \times 1\right) \\ \vdots \\ \exp\left(-i\frac{2\pi}{N}f(N-1)\right) \end{Bmatrix}$$

との内積を  
 $f = 0, 1, \dots, N-1$   
と順次取っていけば,

$$\mathbf{v} = \frac{1}{N} \sum_{f=0}^{N-1} \underline{(\mathbf{v} \cdot \mathbf{u}_f)} \mathbf{u}_f \quad \text{と, 分解できる.}$$

$\mathbf{u}_f$ に対応する強度に変換する.

**離散フーリエ変換 (DFT)**



# フーリエ積分にみる関係性

## $f_g$ に関するフーリエ積分

この部分が  
フーリエ変換  $F_g(f)$

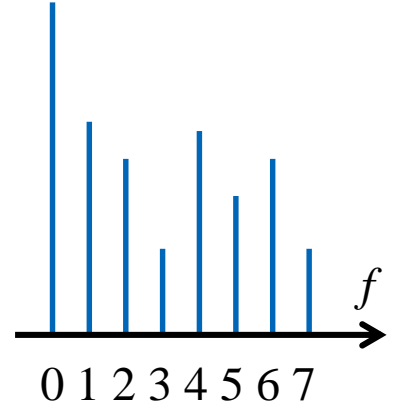
$$f_g(x) = \int_{-\infty}^{\infty} \left( \int_{-\infty}^{\infty} f_g(t) \exp(-i 2\pi f t) dt \right) \exp(i 2\pi f x) df$$

$f$ を1つの値に固定すると、  
基底関数になる

関数の内積(無限区間での積分)  
▶ ベクトルの内積に対応

$$\mathbf{v} = \frac{1}{N} \sum_{f=0}^{N-1} (\mathbf{v} \cdot \mathbf{u}_f) \mathbf{u}_f$$

内積値を  
 $f$ の番号順に並べる



周波数ごとの強度が見える



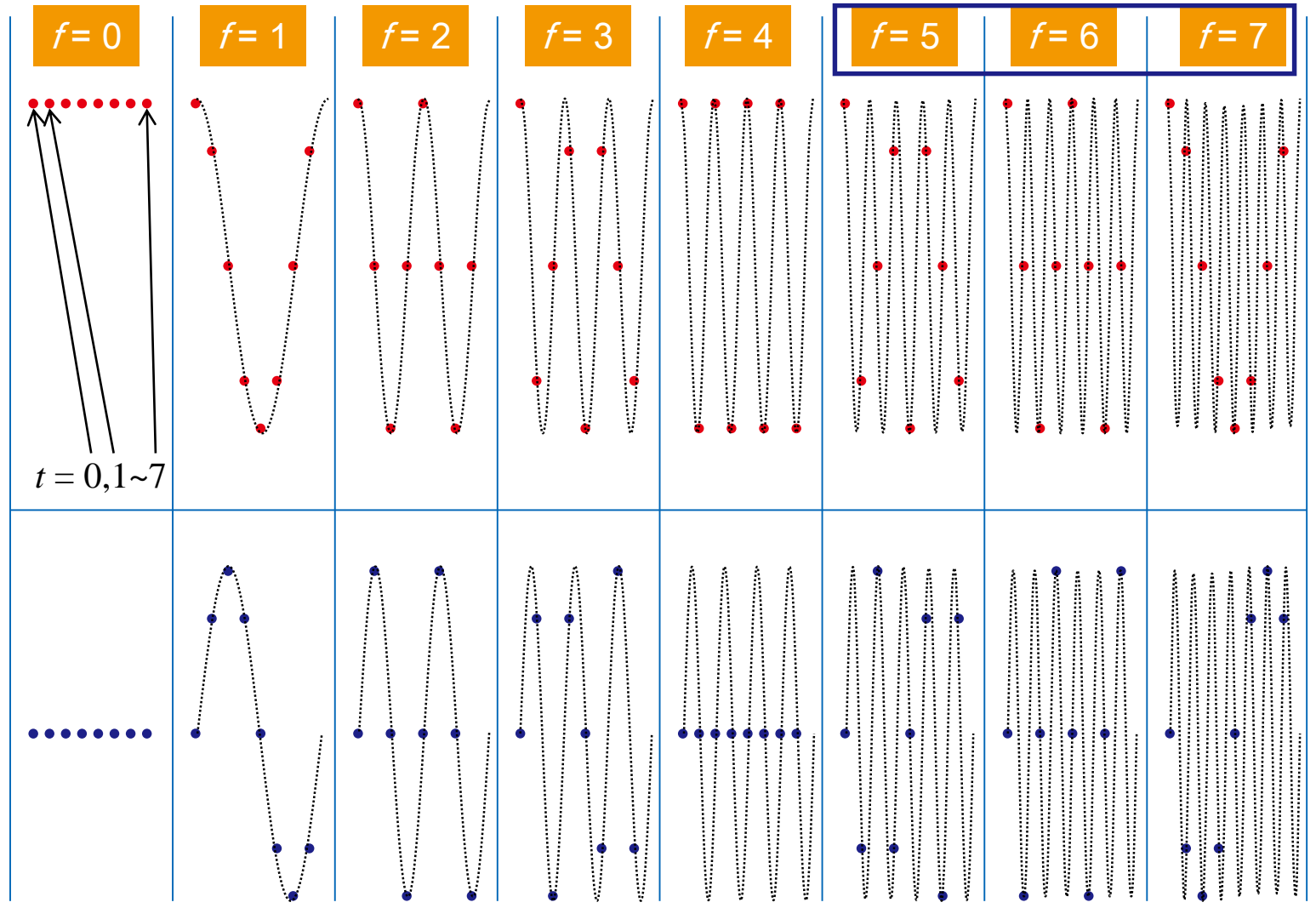
# N = 8 の場合

再現できない ▶ シャノンのサンプリング定理

$\exp\left(-i \frac{2\pi ft}{N}\right)$   
に関して

COS

SIN





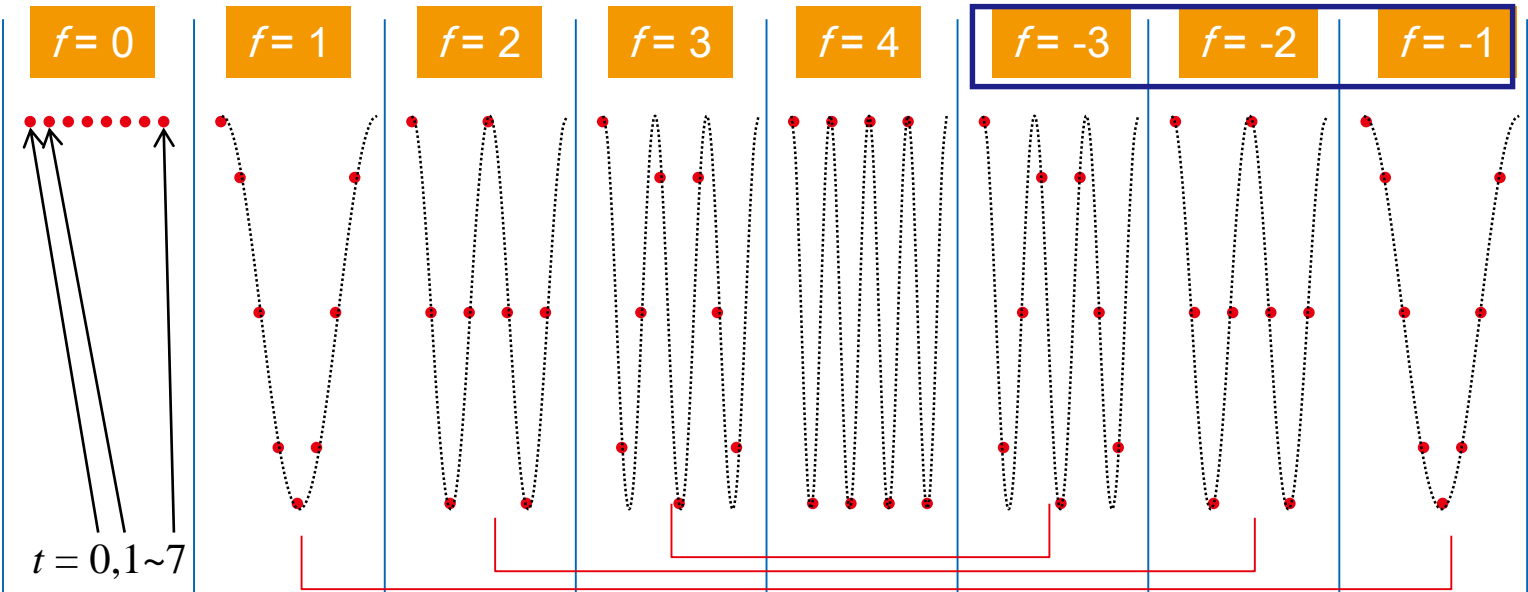
# N = 8 の場合

結果的に符号反転の状態となる。

$$\exp\left(-i \frac{2\pi ft}{N}\right)$$

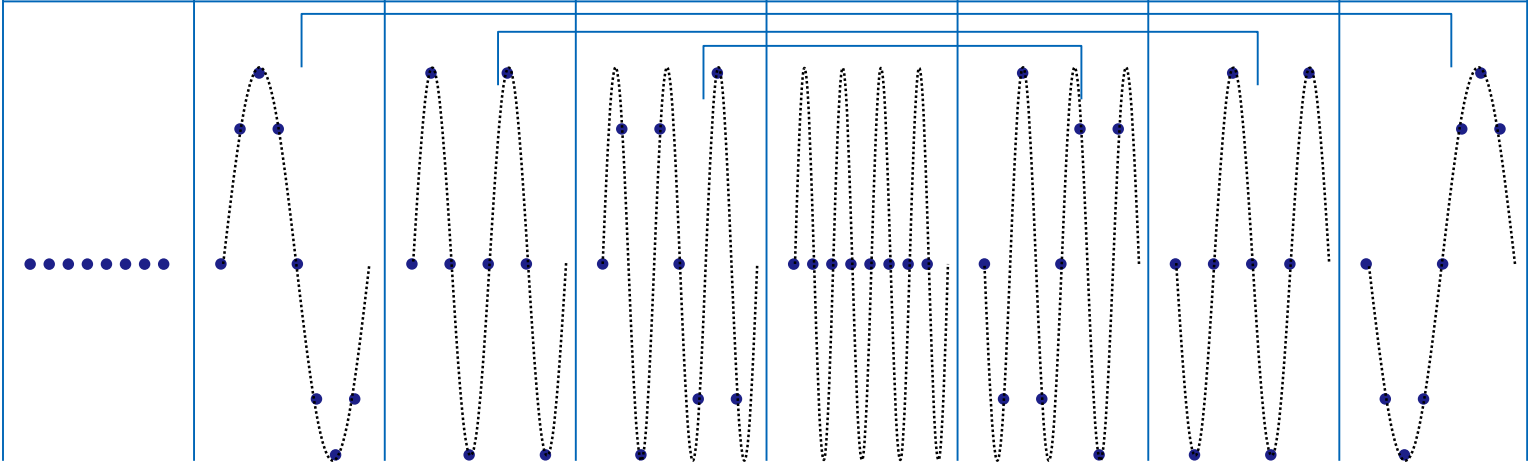
に関して

COS



t = 0, 1 ~ 7

SIN





# 高速フーリエ変換

対称性を利用して効率的に係数を計算する方法である

例えば

$a \cdot x + b \cdot x$	掛け算2回, 足し算1回
-------------------------	--------------

$(a + b) \cdot x$	掛け算1回, 足し算1回
-------------------	--------------

因数分解で  
掛け算の回数が減る！

データ数が $2^n$ の場合

	離散的フーリエ変換	高速フーリエ変換
足し算	$2^{2n} - (n + 2) \cdot 2^{n-1}$	$(n - 1) \cdot 2^n + 1$
引き算	$n \cdot 2^{n-1}$	$2^n - 1$
掛け算	$2^{2n} - (n + 1) \cdot 2^n$	$(n - 2) \cdot 2^n + 2$



# 高速フーリエ変換

対称性を利用して効率的に係数を計算する方法である

$W_4 = \exp\left(-i\frac{2\pi}{N}\right)$  として,  $N=4$ の場合を例として考える

▲以下, 下付き4を省略

$$\begin{Bmatrix} V_0 \\ V_1 \\ V_2 \\ V_3 \end{Bmatrix} = \begin{bmatrix} W^0 & W^0 & W^0 & W^0 \\ W^0 & W^1 & W^2 & W^3 \\ W^0 & W^2 & W^4 & W^6 \\ W^0 & W^3 & W^6 & W^9 \end{bmatrix} \begin{Bmatrix} v_0 \\ v_1 \\ v_2 \\ v_3 \end{Bmatrix}$$

4回の掛け算  
× 4行

厳密には  
1倍, -1倍, 虚数単位倍は,  
和, 差, 実虚入れ替えなので  
掛け算ではないけど.

$$\begin{aligned} W^4 &= W^0 = 1 \\ W^2 &= -1 \end{aligned} \quad \text{なので,}$$



# 高速フーリエ変換

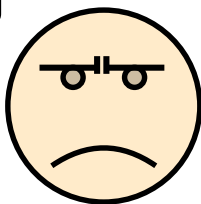
$$\begin{Bmatrix} V_0 \\ V_1 \\ V_2 \\ V_3 \end{Bmatrix} = \begin{pmatrix} 1 & 1 & 1 & 1 \\ 1 & W^1 & -1 & -W^1 \\ 1 & -1 & 1 & -1 \\ 1 & -W^1 & -1 & W^1 \end{pmatrix} \begin{Bmatrix} v_0 \\ v_1 \\ v_2 \\ v_3 \end{Bmatrix}$$

▼ 各行列で2入力のペアを作る

$$\begin{Bmatrix} V_0 \\ V_1 \\ V_2 \\ V_3 \end{Bmatrix} = \begin{pmatrix} 1 & 1 & 0 & 0 \\ 0 & 0 & 1 & W^1 \\ 1 & -1 & 0 & 0 \\ 0 & 0 & 1 & -W^1 \end{pmatrix} \begin{pmatrix} 1 & 0 & 1 & 0 \\ 0 & 1 & 0 & 1 \\ 1 & 0 & -1 & 0 \\ 0 & 1 & 0 & -1 \end{pmatrix} \begin{Bmatrix} v_0 \\ v_1 \\ v_2 \\ v_3 \end{Bmatrix}$$

2個の行列 × 2回の掛け算 × 4行

計算回数が減ってない..





# 高速フーリエ変換

対称性を利用して効率的に係数を計算する方法である

$$W_8 = \exp\left(-i\frac{2\pi}{N}\right) \text{ として, } N=8 \text{ の場合を例として考える}$$

▲以下, 下付き8を省略

$$\begin{pmatrix} V_0 \\ V_1 \\ V_2 \\ V_3 \\ V_4 \\ V_5 \\ V_6 \\ V_7 \end{pmatrix} = \begin{pmatrix} W^0 & W^0 \\ W^0 & W^1 & W^2 & W^3 & W^4 & W^5 & W^6 & W^7 \\ W^0 & W^2 & W^4 & W^6 & W^8 & W^{10} & W^{12} & W^{14} \\ W^0 & W^3 & W^6 & W^9 & W^{12} & W^{15} & W^{18} & W^{21} \\ W^0 & W^4 & W^8 & W^{12} & W^{16} & W^{20} & W^{24} & W^{28} \\ W^0 & W^5 & W^{10} & W^{15} & W^{20} & W^{25} & W^{30} & W^{35} \\ W^0 & W^6 & W^{12} & W^{18} & W^{24} & W^{30} & W^{36} & W^{42} \\ W^0 & W^7 & W^{14} & W^{21} & W^{28} & W^{35} & W^{42} & W^{49} \end{pmatrix} \begin{pmatrix} v_0 \\ v_1 \\ v_2 \\ v_3 \\ v_4 \\ v_5 \\ v_6 \\ v_7 \end{pmatrix}$$

8回の掛け算  
× 8行

この行列を分解すると...



# 高速フーリエ変換

$$\begin{pmatrix} V_0 \\ V_1 \\ V_2 \\ V_3 \\ V_4 \\ V_5 \\ V_6 \\ V_7 \end{pmatrix} = \begin{pmatrix} 1 & 1 & 0 & 0 & 0 & 0 & 0 & 0 \\ 0 & 0 & 1 & W^1 & 0 & 0 & 0 & 0 \\ 0 & 0 & 0 & 0 & 1 & W^2 & 0 & 0 \\ 0 & 0 & 0 & 0 & 0 & 0 & 1 & W^3 \\ 1 & -1 & 0 & 0 & 0 & 0 & 0 & 0 \\ 0 & 0 & 1 & -W^1 & 0 & 0 & 0 & 0 \\ 0 & 0 & 0 & 0 & 1 & -W^2 & 0 & 0 \\ 0 & 0 & 0 & 0 & 0 & 0 & 1 & -W^3 \end{pmatrix} \begin{pmatrix} I_2 & I_2 & \mathbf{0}_2 & \mathbf{0}_2 \\ \mathbf{0}_2 & \mathbf{0}_2 & I_2 & W^2 I_2 \\ I_2 & -I_2 & \mathbf{0}_2 & \mathbf{0}_2 \\ \mathbf{0}_2 & \mathbf{0}_2 & I_2 & -W^2 I_2 \end{pmatrix} \begin{pmatrix} I_4 & I_4 \\ I_4 & -I_4 \end{pmatrix} \begin{pmatrix} v_0 \\ v_1 \\ v_2 \\ v_3 \\ v_4 \\ v_5 \\ v_6 \\ v_7 \end{pmatrix}$$

2回の掛け算  
× 8行

2回の掛け算  
× 8行

2回の掛け算  
× 8行

変形は各自追って

8 × 8 = 64 回 ▶ 3 × 2 × 8 = 48 回に減少



# 高速フーリエ変換

一般に,

$2^n \times 2^n$  行列

分解

$n$  個の  $2^n \times 2^n$  行列

(ざっくりした)

掛け算の回数

※厳密には1倍や-1倍,  $i$ 倍は計算負荷が軽いのだが概算で

$2^n$  回  $\times$   $2^n$  行

$n$  個の行列  $\times$  2回  $\times$   $2^n$  行

計算量

$O(N^2) \blacktriangleright O(N \log N)$  に減小!!

例えば1024個のデータなら, 100万回程度の計算を, 1万回以下にする